



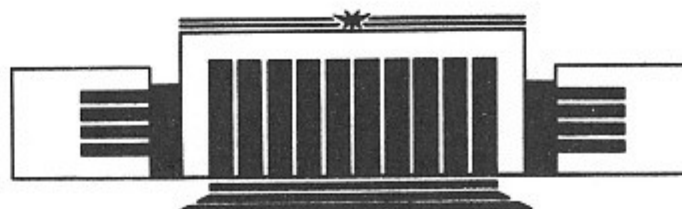
ИНСТИТУТ ЯДЕРНОЙ ФИЗИКИ  
им. Г.И. Будкера СО РАН  
СИБИРСКИЙ ЦЕНТР СИНХРОТРОННОГО  
ИЗЛУЧЕНИЯ

49

С.В. Чернов, С.В. Мытниченко  
С.Ф. Рузанкин, В.А. Чернов, С.Г. Никитенко

ПРОВЕРКА ГЕОМЕТРИИ СТРУКТУРЫ  
 $\text{NiMo}_4$  С ИСПОЛЬЗОВАНИЕМ  
ХАНЕС И EXAFS-СПЕКТРОВ

ИЯФ 94-73



НОВОСИБИРСК  
1994

# Проверка геометрии структуры NiMoO<sub>4</sub> с использованием XANES и EXAFS-спектров

С.В. Чернов\*, С.В. Мытниченко\*,  
С.Ф. Рузанкин\*\*, В.А. Чернов\*\*, С.Г. Никитенко\*\*

Институт ядерной физики  
630090, Новосибирск 90, Россия

## АННОТАЦИЯ

Приводятся данные XANES и EXAFS-спектроскопий молибдена в структуре NiMoO<sub>4</sub>, Na<sub>2</sub>MoO<sub>4</sub>(2H<sub>2</sub>O) и MoO<sub>3</sub>. На основе сравнений их друг с другом, а также с помощью результатов численного моделирования подтверждается октаэдрическое ближайшее окружение молибдена кислородом в структуре NiMoO<sub>4</sub>.

## XANES И EXAFS-СПЕКТРОГРАФИЯ МОЛИБДЕНА В СТРУКТУРЕ NiMoO<sub>4</sub>

© Институт ядерной физики им. Г.И. Будкера, Россия

\* Институт Химии Твердого Тела и Переработки Минерального Сырья  
СО РАН, 630091, Новосибирск-91, ул. Державина, 18.

\*\* Институт катализа СО РАН, 630090, Новосибирск, ул. Лаврентьева, 5.

хорошо согласуется с экспериментальными данными. Так, например, в структуре NiMoO<sub>4</sub> молибден имеет октаэдрическую координацию кислорода, что подтверждается моделью с координацией 6. В то же время, в структуре Na<sub>2</sub>MoO<sub>4</sub>(2H<sub>2</sub>O) молибден имеет тетраэдрическую координацию кислорода, что подтверждается моделью с координацией 4. Важно отметить, что модель с координацией 6 лучше всего описывает экспериментальные данные по амплитуде и фазе коэффициента поглощения вблизи края K-absorбции молибдена.

В то же время, в структуре MoO<sub>3</sub> молибден имеет тетраэдрическую координацию кислорода, что подтверждается моделью с координацией 4. Важно отметить, что модель с координацией 4 лучше всего описывает экспериментальные данные по амплитуде и фазе коэффициента поглощения вблизи края K-absорбции молибдена.

## 1 Введение

Интерес к металломолибденовым системам вызван тем, что они, являясь катализаторами во многих окислительных реакциях, устойчивы к воздействию высоких температур и сернистых соединений. Однако механизм их синтеза далеко не ясен. Исследования его методом "in situ" с использованием XANES- и EXAFS-спектроскопий, на наш взгляд, являются многообещающими, так как, не прерывая процесс синтеза конечного продукта реакции, позволяют устанавливать ближайшую геометрию окружения выбранного атома. Начиная работу в этом направлении, мы опробовали такой подход в уточнении ближайшей геометрии кислородного окружения молибдена в структуре NiMoO<sub>4</sub>.

Расшифровка геометрической структуры, составленной из сильно (~ 10 раз) различающихся по рассеивающей способности атомов (Ni, Mo, и O в NiMoO<sub>4</sub>), всегда содержит неопределенность в определении положений легких атомов. Поэтому особую ценность представляют другие косвенные данные, подтверждающие правильность результатов рентгеноструктурного анализа.

В настоящей работе в части 2 представлены XANES, а в части 3 — EXAFS-спектры поглощения молибдена в структуре NiMoO<sub>4</sub>, и проведено их сравнение с аналогичными спектрами для Na<sub>2</sub>MoO<sub>4</sub> и MoO<sub>3</sub>. В части 4 обсуждается численное моделирование XANES спектров молибдена в вышеупомянутых структурах. Выводы из проведенного на его основе анализа приведены в части 5.

## 2 XANES-спектры молибдена в структурах $\text{NiMoO}_4$ , $\text{Na}_2\text{MoO}_4$ и $\text{MoO}_3$

Как следует из [1,2],  $\text{NiMoO}_4$  имеет трехмерную структуру, состоящую из цепей кислородных октаэдров. Октаэдры, относящиеся к одной цепи, соединяются между собой ребрами, а с октаэдрами других цепей они соединяются вершинами. Атомы молибдена находятся внутри кислородных октаэдров и смешены относительно их центров на  $\sim 0.4 \text{ \AA}$ . Расстояния O–O в октаэдрах —  $2.7 - 2.8 \text{ \AA}$ .

Mo–O дистанции разбиваются по длине на три пары:  $1.72$ ,  $1.9$  и  $2.3 \text{ \AA}$ . Первая пара Mo–O расстояний по величине близка к  $1.75 \text{ \AA}$ , то есть к Mo–O расстояниям для идеального кислородного тетраэдра с молибденом в центре для структуры  $\text{Na}_2\text{MoO}_4$  [3]. Кроме того, O–O дистанции также близки в этих структурах.

С другой стороны, двумерная слоистая структура  $\text{MoO}_3$  состоит из кислородных октаэдров с молибденом внутри. При этом все расстояния O–O и Mo–O очень близки соответствующим расстояниям для октаэдров  $\text{NiMoO}_4$  [4]. Эта близость относительного расположения атомов молибдена и кислорода в вышеупомянутых структурах явилась причиной нашей ревизии ближайшего кислородного окружения молибдена в структуре  $\text{NiMoO}_4$ . Поскольку структуры  $\text{NiMoO}_4$  и  $\text{CoMoO}_4$  изоморфны друг другу и имеют практически одни и те же размеры [1], то настоящее исследование актуально и для уточнения геометрии ближайшего окружения молибдена в  $\text{CoMoO}_4$ .

XANES-спектры молибдена (спектры поглощения рентгеновских лучей перед K-краем и немного выше) для  $\text{NiMoO}_4$ ,  $\text{MoO}_3$  и  $\text{Na}_2\text{MoO}_4(2\text{H}_2\text{O})$  были получены на EXAFS-станции накопителя ВЭПП-3 Сибирского центра СИ при ИЯФ СО РАН. Для монохроматизации пучка использовалось отражение от Si(333). Энергетическое разрешение спектрометра было лучше, чем  $2 \text{ eV}$ . Для сравнения отметим, что естественная ширина K-уровня Mo около  $5 \text{ eV}$ . Таким образом, измерение спектра в основном определялось естественной шириной K-уровня. Спектры снимались по флюoresцентной методике с использованием газового электронно-люминесцентного детектора в токовом режиме [5]. Во избежание искажения спектров флюoresцентное излучение детектировалось под скользящим углом к поверхности образца. В качестве реперных соединений использовались  $\text{Na}_2\text{MoO}_4(2\text{H}_2\text{O})$  с почти идеальным тетраэдрическим кислородным окружением молибдена и  $\text{MoO}_3$ , в котором кислородное окружение молибдена имеет форму искаженного октаэдра.

Как видно из рис.1 во всех случаях наблюдается предкраевой резонанс, который, однако, отличается как по амплитуде, так и по расположению относительно 1s уровня (К-уровня) молибдена в соответствующих структурах. Так пик перед К-краем молибдена в  $\text{MoO}_3$  смешен по отношению к аналогичному пику в  $\text{NiMoO}_4$  на  $\sim 2 \text{ eV}$  в сторону больших энергий, и величина его немного меньше. Положения пиков в  $\text{NiMoO}_4$  и в  $\text{Na}_2\text{MoO}_4$  очень близки, но заметно различаются по амплитуде.

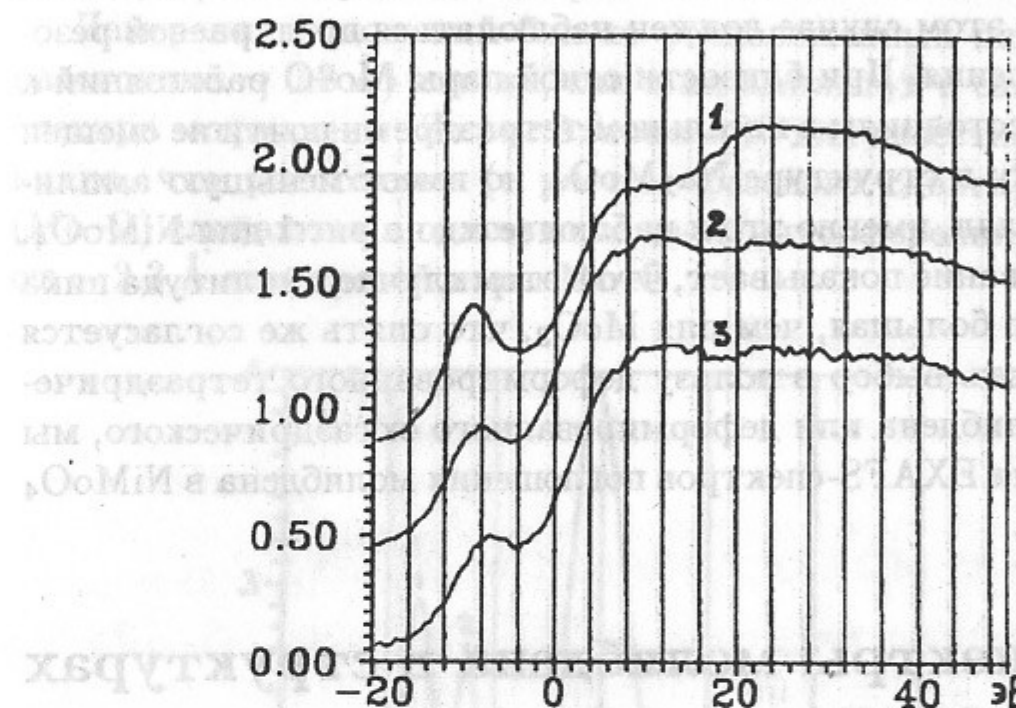


Рис. 1. Экспериментальные XANES-спектры молибдена в структурах: 1)  $\text{Na}_2\text{MoO}_4$ , 2)  $\text{NiMoO}_4$ , 3)  $\text{MoO}_3$ . По горизонтали – энергия в  $\text{eV}$ . По вертикали – сечение поглощения в произвольных единицах.

Известно, что  $3d$  и  $4d$  металлы в кислородном тетраэдрическом окружении (группа симметрии  $T_d$ ) образуют молекулярный комплекс с незаполненной локализованной орбиталью (молекулярный резонанс). На рентгеновских спектрах это проявляется в виде узкой полосы (линии) поглощения с энергией ниже энергии возбуждения электронов с K-уровня в континуум (непрерывную часть спектра) [6].

Теоретический расчет (методом Х $\alpha$ -рассеянные волны) предкраевой структуры K-спектра поглощения молибдена в тетраэдрическом кислородном окружении проведен в [7]. Из этой работы так же следует наличие предкраевого пика, который соответствует переходу  $1s \rightarrow t_2$ , где  $t_2$  — незаполненный молекулярный уровень кластера  $\text{MoO}_4^{2-}$ , моделирующего ближайшее окружение молибдена в кристалле  $\text{Na}_2\text{MoO}_4$ . В то же

время, для идеального октаэдрического окружения (группа симметрии  $O_h$ ) предкраевой пик отсутствует из-за отсутствия вакантных молекулярных уровней необходимой симметрии для перехода с  $1s$  уровня молибдена. Однако при смещении из центра октаэдра молибдене (группа симметрии  $C_{2v}$ ) предкраевой пик может присутствовать, но с уменьшенной амплитудой, как это и наблюдается для  $\text{MoO}_3$  на рис.1. Численное моделирование молекулярных уровней деформированного тетраэдра со смещенным из центра молибденом, выполненное в этой работе (см. часть 4), показало, что и в этом случае должен наблюдаться предкраевой резонансный пик поглощения. При близости одной пары Mo–O расстояний к соответствующим расстояниям в идеальном тетраэдре он почти не смещен по отношению к пику в структуре  $\text{Na}_2\text{MoO}_4$ , но имеет меньшую амплитуду. На первый взгляд, именно это и наблюдается на рис.1 для  $\text{NiMoO}_4$ . Численное моделирование показывает, что в этом случае амплитуда пика ожидается несколько большая, чем для  $\text{MoO}_3$ , что опять же согласуется с рис.1. Чтобы сделать выбор в пользу деформированного тетраэдрического окружения молибдена или деформированного октаэдрического, мы выполнили измерения EXAFS-спектров поглощения молибдена в  $\text{NiMoO}_4$  и  $\text{MoO}_3$  структурах.

### 3 EXAFS-спектры молибдена в структурах $\text{NiMoO}_4$ и $\text{MoO}_3$

EXAFS-спектры были получены на EXAFS-станции накопителя ВЭПП-3 Сибирского центра СИ при ИЯФ СО РАН [5] при энергии пучка 2 ГэВ и токе 100 мА. Измерения проводились по методике на пропускание. Для монохроматизации рентгеновского излучения использовался двойной моноблочный кристаллический монохроматор Si(111). EXAFS-спектры регистрировались по К-краю поглощения молибдена с шагом  $\sim 1$  эВ. Вклад высоких гармоник в данной рабочей области незначителен, и поэтому их влияние не учитывалось. В качестве детекторов использовались ионизационные камеры, заполненные аргоном.

Выделение осциллирующей части  $\chi(k)$  проводилось по стандартной процедуре. Предкраевая область экстраполировалась на область EXAFS-осцилляций полиномами типа Викторина. Плавная часть спектра поглощения строилась в виде комбинации сглаживающих кубических сплайнов. Функции радиального распределения (ФРР) получены Фурье преобразованием  $k\chi(k)$  в интервале  $3.5$ – $14.5$  Å $^{-1}$ .

Как известно, пики ФРР EXAFS-спектра отвечают расстояниям от изучаемого атома до ближайших его соседей с небольшим уменьшением их величины, что связано с набеганием фазового сдвига электронной волны при рассеянии в потенциале соседа. Поправки для нахождения истинных атомных расстояний определялись по EXAFS-спектрам реальных образцов —  $\text{MoO}_3$  и молибденовой фольги для Mo–Mo расстояния). Также использовались расчетные таблицы McKale [8]. Фазовый сдвиг Mo–O расстояний полагался равным 0.5 Å.

Измерения положений близко расположенных пиков (разница Mo–O расстояний  $\sim 0.2$  Å) так же, как и их амплитуд в самом начале EXAFS-спектра затруднены. Из рис.2 (кривая б) для известной структуры  $\text{MoO}_3$  видно, что расстояния (с учетом фазового сдвига)  $\sim 1.7$  Å и 1.9 Å (Mo–O) сливаются в одном пике из-за интерференции, отделяясь однако от  $\sim 2.3$  Å для третьей пары Mo–O.

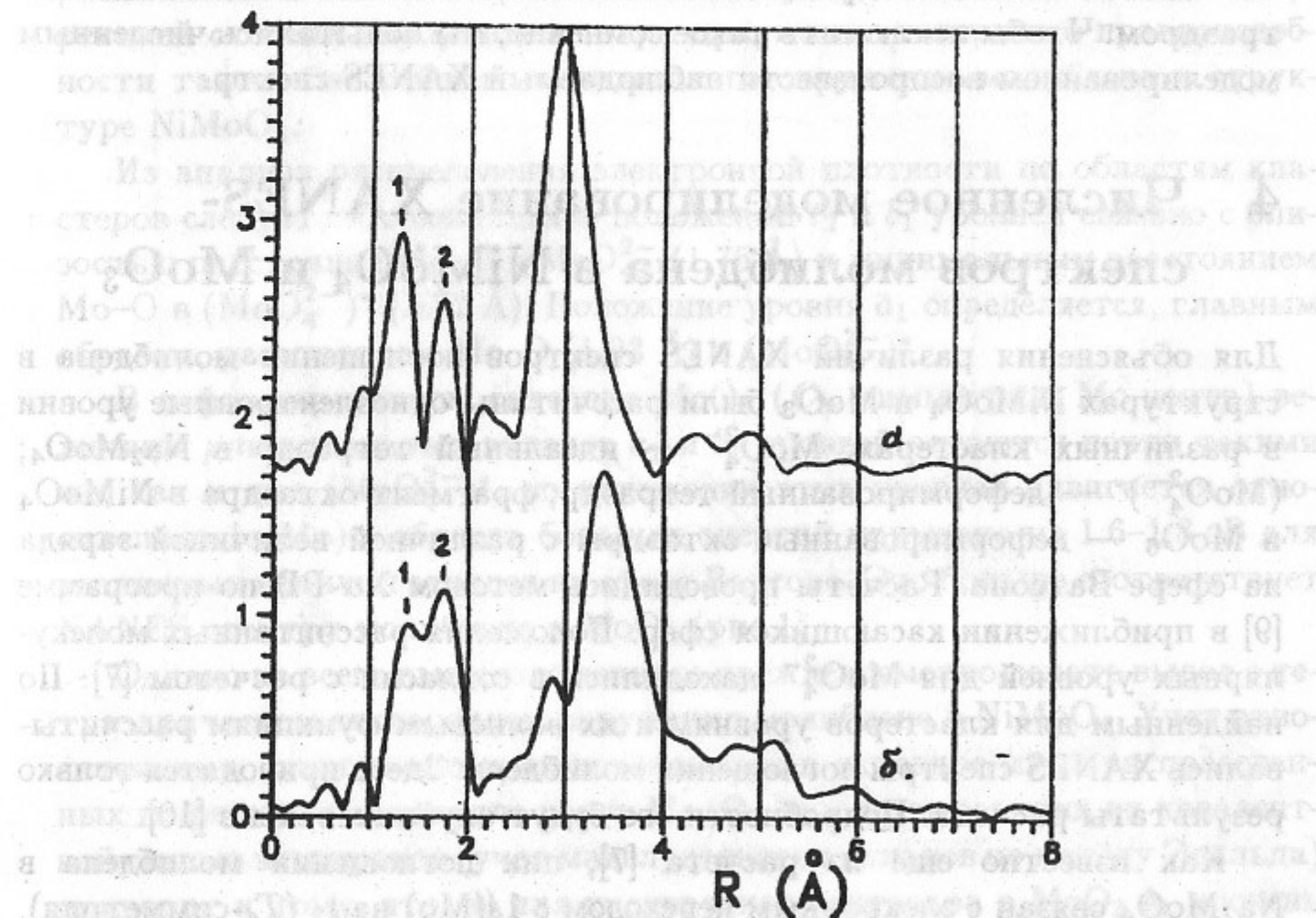


Рис. 2. Экспериментальные EXAFS-спектры молибдена в структурах: а)  $\text{NiMoO}_4$ , б)  $\text{MoO}_3$ . По горизонтали – расстояние в ангстремах. По вертикали – функция радиального распределения в произвольных единицах.

В Mo EXAFS-спектре  $\text{NiMoO}_4$  (рис.2,а) первый неложный пик расположен немного на меньшем расстоянии, и поэтому он лучше отделен от второго пика, положение которого полностью совпадает с аналогичным пиком для  $\text{MoO}_3$ . Такая ситуация свидетельствует о наличии в  $\text{NiMoO}_4$  расстояний Mo-O, типичных для октаэдрического окружения молибдена. Однако большая амплитуда первого пика по сравнению со вторым и некоторое его смещение в область меньших длин указывает на то, что смещения молибдена из центра октаэдра, вероятно несколько иное, чем определенное в [1,2]. Возможно, что вторая ближайшая пара расстояний Mo-O ( $\sim 1.9 \text{ \AA}$  по [1,2]) в  $\text{NiMoO}_4$  имеет несколько меньшую величину, т.е. ближе к первой паре расстояний Mo-O ( $\sim 1.7 \text{ \AA}$ ). Так как, согласно работам [1,2], в структуре  $\text{NiMoO}_4$  присутствуют два типа октаэдров, то быть может такое положение молибдена справедливо только для одного из них. Кроме этого, мы по-прежнему можем предполагать, что один из этих октаэдров в действительности является идеальным тетраэдром. Чтобы исключить такое сомнение, мы попытались численным моделированием воспроизвести наблюдаемый XANES-спектр.

#### 4 Численное моделирование XANES-спектров молибдена в $\text{NiMoO}_4$ и $\text{MoO}_3$

Для объяснения различий XANES спектров поглощения молибдена в структурах  $\text{NiMoO}_4$  и  $\text{MoO}_3$  были рассчитаны одноэлектронные уровни в различных кластерах:  $\text{MoO}_4^{2-}$  — идеальный тетраэдр в  $\text{Na}_2\text{MoO}_4$ ;  $(\text{MoO}_4^{2-})^*$  — деформированный тетраэдр; фрагмент октаэдра в  $\text{NiMoO}_4$  и  $\text{MoO}_6$  — деформированные октаэдры с различной величиной заряда на сфере Ватсона. Расчеты проводились методом Х $\alpha$ -РВ по программе [9] в приближении касающихся сфер. Положения рассчитанных молекулярных уровней для  $\text{MoO}_4^{2-}$  находились в согласии с расчетом [7]. По найденным для кластеров уровням и их волновым функциям рассчитывались XANES спектры поглощения молибдена. Здесь приводятся только результаты расчета. Подробности его будут опубликованы в [10].

Как известно еще из расчета [7], пик поглощения молибдена в  $\text{Na}_2\text{MoO}_4$  связан с электронным переходом с  $1s(\text{Mo})$  на  $t_2$  ( $T_d$ -симметрия). При переходе к деформированному тетраэдру ( $C_{2v}$ -симметрия, Mo-центр) трехкратно (без учета вырождения по спину) вырожденный уровень  $t_2$  расщепляется на три однократно вырожденных уровня  $a_1$ ,  $b_1$  и  $b_2$ . С  $1s(\text{Mo})$  переходы разрешены только на те вакантные уровни,

у которых  $p$ -парциальные электронные вклады в волновую функцию в окрестности атома молибдена отличны от нуля. Анализ таких вкладов показывает, что уровень  $b_1$  имеет  $p$ -вклад по величине очень близкий к  $p$ -вкладу  $t_2$  в  $\text{MoO}_4^{2-}$ . Вклад в пик поглощения, связанный с переходом на уровень  $a_1$ , который расположен ниже  $b_1$  на 0.5 эВ, небольшой, так как  $p$ -парциальный вклад  $a_1$  уровня в 3 раза меньше, чем для  $b_1$ . Поэтому переход с  $1s(\text{Mo})$  на  $a_1$  может повлиять только на небольшое изменение формы пика, а  $1s(\text{Mo}) \rightarrow b_2$  переход из-за малости  $p$ -вклада практически не заметен.

Расположения  $t_2$  и  $b_1$  относительно  $1s$  уровня молибдена в кластерах  $\text{MoO}_4^{2-}$  и  $(\text{MoO}_4^{2-})^*$ , соответственно, отличаются только на 0.1 эВ, что согласуется с близостью расположения пиков для  $\text{Na}_2\text{MoO}_4$  и  $\text{NiMoO}_4$  на рис.1. Различие по амплитуде объясняется различной степенью вырожденности уровней. Учитывая погрешности вычислений, связанные с различием типов симметрий этих кластеров, а также с возможной коррекцией степени деформации тетраэдра, можно говорить о правдоподобности такого ближайшего кислородного окружения молибдена в структуре  $\text{NiMoO}_4$ .

Из анализа распределения электронной плотности по областям кластеров следует, что совпадение положений  $t_2$  и  $b_1$  уровней связано с близостью расстояния Mo-O в  $\text{MoO}_4^{2-}$  ( $1.75 \text{ \AA}$ ) и минимальным расстоянием Mo-O в  $(\text{MoO}_4^{2-})^*$  ( $1.72 \text{ \AA}$ ). Положение уровня  $a_1$  определяется, главным образом, расстоянием Mo-O ( $1.93 \text{ \AA}$ ) в  $(\text{MoO}_4^{2-})^*$ .

В деформированном октаэдре  $\text{MoO}_6$  ( $C_{2v}$ -симметрия, Mo-центр) величины  $p$ -парциальных вкладов  $a_1$  и  $b_1$  уровней остаются почти такими же, как и для  $(\text{MoO}_4^{2-})^*$ , но положения этих уровней сдвигается относительно  $1s(\text{Mo})$  в область больших энергий примерно на 1.6–1.8 эВ для различных величин зарядов на сфере Ватсона. Это больше соответствует XANES спектру молибдена в  $\text{MoO}_3$  (рис.1).

Однако из всего вышеизложенного преждевременно делать вывод о тетраэдрическом кислородном окружении молибдена в  $\text{NiMoO}_4$ . Учет относительных сдвигов атомных потенциалов в октаэдре из-за распределенных по решетке кристалла ионов Mo, O, Ni и связывающих их ковалентной связью электронов (учет маделунговских вкладов по методу Эвальда) приводит к тому, что: а) для кислородного октаэдра в  $\text{MoO}_3$   $b_1$  уровень сдвигается относительно  $1s$  уровня молибдена на 2.6 эВ выше, чем  $t_2$  уровень в  $\text{MoO}_4^{2-}$ ; б) для октаэдра в  $\text{NiMoO}_4$   $b_1$  уровеньложен относительно  $1s$  уровня молибдена на 0.6 эВ ниже, чем  $t_2$  уровень в  $\text{MoO}_4^{2-}$ . Такой результат с учетом погрешности эксперимента и расчета вполне

согласуется с взаимным расположением предкраевых пиков для этих структур на рис.1.

Численное моделирование XANES спектра (рис.3) молибдена по расчетанным спектрам дает отношение пика поглощения в  $\text{MoO}_3$  к пику поглощения в  $\text{NiMoO}_4$  равное 70%, а сам пик поглощения в  $\text{NiMoO}_4$  составляет 57% от пика поглощения в  $\text{Na}_2\text{MoO}_4$ . В расчете использовалось лоренцевское “размытие” уровней на  $\sim 3$  эВ, что моделировало аппаратное и естественное уширение уровней. Необходимо также учесть, что согласно [1,2] в  $\text{NiMoO}_4$  существуют два типа октаэдров  $\text{MoO}_6$ , малое различие которых может привести к небольшому сдвигу относительно друг друга пиков поглощения, что должно несколько “размыть” амплитуду суммарного пика. Относительное смещение предкраевых пиков поглощения молибдена в  $\text{MoO}_3$  и  $\text{NiMoO}_4$  составляет  $\sim 3$  эВ, что согласуется с экспериментом.

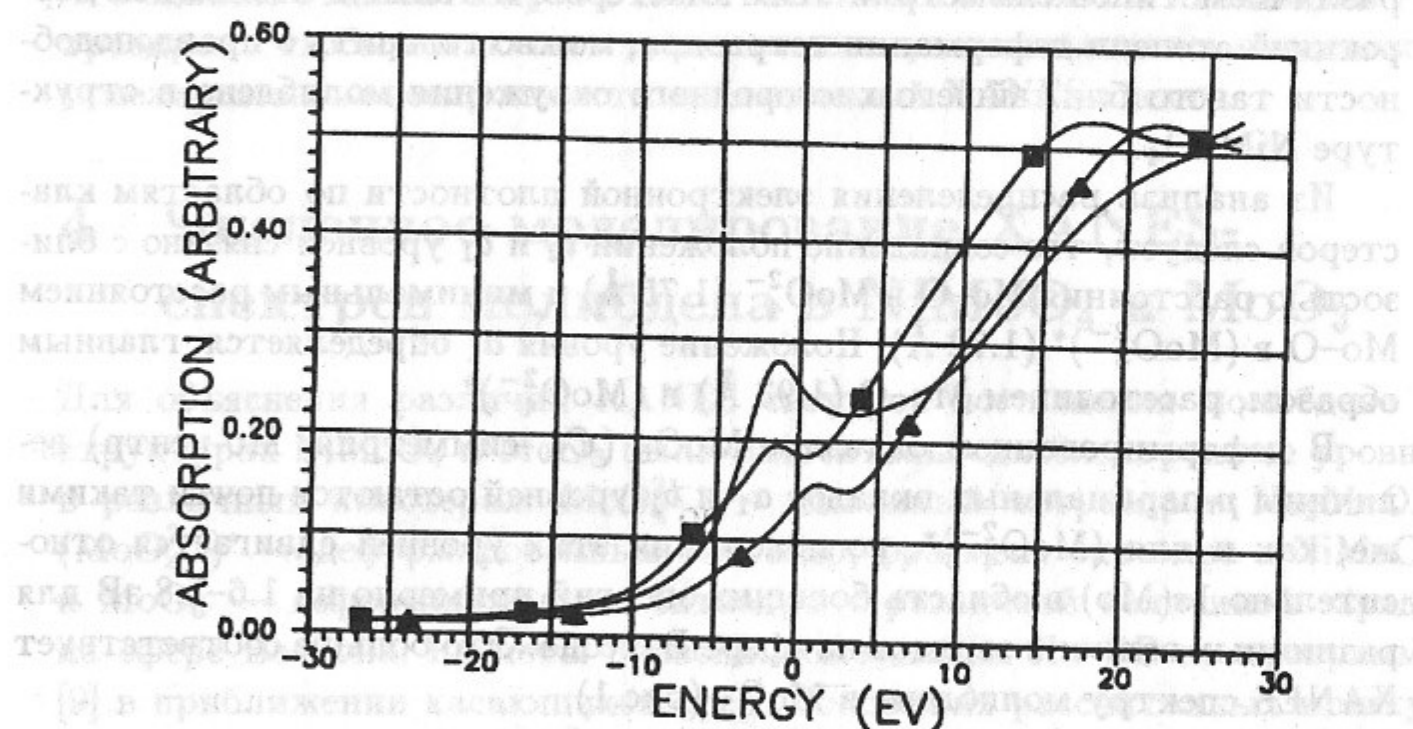


Рис. 3. Рассчитанные XANES-спектры молибдена в структурах: а)  $\text{Na}_2\text{MoO}_4$  —, б)  $\text{NiMoO}_4$  —■—, в)  $\text{MoO}_3$  —▲—. По горизонтали – энергия в эВ. По вертикали – сечение поглощения в произвольных единицах.

## 5 Заключение

Наличие расстояний Мo–O, соответствующих октаэдрическому кислородному окружению молибдена, подтверждается сравнением EXAFS-спектров молибдена в структурах  $\text{MoO}_3$  и  $\text{NiMoO}_4$ .

Результаты численного моделирования XANES спектров поглощения молибдена в структурах  $\text{NiMoO}_4$ ,  $\text{MoO}_3$  и  $\text{Na}_2\text{MoO}_4$  показывают, что относительное расположение пиков и их относительный масштаб может быть полностью объяснено в предположении октаэдрического кислородного окружения молибдена в структуре  $\text{NiMoO}_4$ . Сдвиг предкраевого пика поглощения молибдена в  $\text{MoO}_3$  по отношению к  $\text{NiMoO}_4$  объясняется различием маделунговских вкладов от распределения зарядов в решетках  $\text{MoO}_3$  и  $\text{NiMoO}_4$ . Ковалентность связи в этих структурах и способ соединения октаэдров друг с другом приводят к такому распределению электронов, что можно рассматривать октаэдры  $\text{MoO}_6$  в  $\text{MoO}_3$  нейтральными, представляющими собой молекулу  $\text{MoO}_3$ , а такие же октаэдры в  $\text{NiMoO}_4$  – заряженными, как комплекс  $(\text{MoO}_2)^{2-}$  (для шестивалентного молибдена). Аналогично, октаэдры  $\text{NiO}_6$  в  $\text{NiMoO}_4$  при пересчете количества связей кислорода приходящихся на один октаэдр можно условно представить как заряженный комплекс  $(\text{NiO}_2)^{2+}$  (для двухвалентного никеля). Возникающие при этом внутренние электрические поля между такими заряженными комплексами и являются причиной относительного сдвига предкраевого пика в структуре  $\text{NiMoO}_4$  по отношению к пику в  $\text{MoO}_3$ .

Работа выполнена при финансовой поддержке Российского фонда фундаментальных исследований (N 93-03-4235) и Международного научного фонда Сороса по гранту N RCX000.

## ЛИТЕРАТУРА

1. G.W.Smith, J.A.Ibers. Acta Cryst., 1965, **19**, p.269–275.
2. G.W.Smith. Acta Cryst., 1962, **15**, p.1054–1057.
3. K.Matsmoto, A.Koboyshi, and Y.Sasaki. Bull. Chem. Soc. Jap., 1975, **48**, p.1009–1022.
4. E.M.McCaron, J.C.Calabrese. Jour. Sol. Stat. Chem., 1961, **91**, p.121–125.
5. В.А.Чернов, И.Б.Дробязко, С.Г.Никитенко. Отчет Сибирского Международного Центра Синхротронного излучения за 1990, Новосибирск, ИЯФ СО РАН, 1991, с.114–115.
6. P.E.Best. J. Chem. Phys., 1966, **44**, p.3248–3253.
7. F.W.Kutzler, C.R.Natoli, et al. J. Chem. Phys., 1980, **73**, p.3274–3288.
8. A.G.McKale, B.W. J. Am. Chem. Soc., 1988, **110**, p.3763–3768.
9. С.Ф.Рузанкин. Ж. структ. хим., 1972, **20**, N5, с.953–954.
10. С.В.Чернов, С.Ф.Рузанкин, А.Л.Яковлев. ИЯФ 94-74, Новосибирск, 1994.

ENERGY (eV)

Рис. 3. Рассчитанные XANES спектры молибдена в структурах: а)  $\text{Mo}_2\text{O}_4$ ; б)  $\text{KMnO}_4$ ; в)  $\text{MoO}_3$ . По горизонтали – энергия в эВ. По вертикали – соотношение в наномольных единицах.

## ЛИТЕРАТУРА

1. G.W.Smith, J.K.Harr. *Acta Cryst.*, 1965, 18, p. 269-275.
2. G.W.Smith. *Acta Cryst.*, 1962, 15, p. 1954-1957.
3. K.Matsuura, A.Kobayashi, and Y.Suzuki. *Bull. Chem. Soc. Jap.*, 1975, 48, p.1020-1022. **С.В. Чернов, С.В. Мытниченко**  
**С.Ф. Рузанкин, В.А. Чернов, С.Г. Никитенко**
4. E.G.McColl. *J. Am. Chem. Soc.*, 1961, 33, p.121-125.
- Проверка геометрии структуры NiMoO<sub>4</sub>  
с использованием  
**XANES и EXAFS-спектров**  
Межвузовского центра Сибирского научного центра ИЯФ СО РАН, Отчет Сибирского  
Межвузовского центра Сибирского научного центра ИЯФ СО РАН, 1990, Но-  
восибирск, ИЯФ СО РАН, 1991, с.114-115.
5. P.E.Best. *J. Chem. Phys.*, 1966, 44, p.3248-3253.
6. F.W.Kauzler, C.R.Kato, et al. **ИЯФ 94-73**. *Phys.*, 1989, 73, p.2271-2288.
7. A.G.McKale, B.W. *J. Am. Chem. Soc.*, 1958, 110, p.3703-3708.
8. С.Ф.Рузанкин. *Ж. структ. хим.*, 1972, 20, №3, с.953-954.
9. С.В.Чернов, С.Ф.Рузанкин, А.Д.Люзина. **ИЯФ 94-74**. Новосибирск,  
1994.

Ответственный за выпуск С.Г. Попов

Работа поступила 3 августа 1994 г.

Сдано в набор 22.08. 1994 г.

Подписано в печать 9.09 1994 г.

Формат бумаги 60×90 1/16 Объем 0,8 печ.л., 0,7 уч.-изд.л.

Тираж 180 экз. Бесплатно. Заказ N 73

Обработано на IBM PC и отпечатано на  
ротапринте ИЯФ им. Г.И. Будкера СО РАН,  
Новосибирск, 630090, пр. академика Лаврентьева, 11.